# 結核症の銅代謝に関する臨床的研究

# 第2報 胸腹水ならびに切除肺病巣内の銅含有量の持つ意義について

# 河 合 潔

国立中野療養所

受付 昭和32年1月5日

# 緒言

前報で述べたように炎症局所における銅含有量の研究はあまりにも少なく、Menkin<sup>9</sup>)の報告は鉄に関したものであり、銅では放射性銅を利用した Schubert の実験的研究<sup>10</sup>,しかないことは Brenner<sup>5</sup>)の総説でも明らかで、この方面は正に未開領域と言わねばならぬ。しかも遊離状態の銅ィオン自体は一定濃度以上では本質的に抗結核菌作用を有するものである以上、炎症局所に銅が集まるか否かは、仮にその銅が血清銅に由来する蛋白との結合銅であつてもその影響は無視できないと思う。

本報では各種の炎症時,非炎症時の胸腹水内銅量につき述べた後,切除肺病巣内の銅含有量の状態を正常肺部と比較しつつ報告したい。

### 第1節 胸腹水

- 1) 検査対象: 非炎症性漏出液 8 例,炎症性漿液性渗出液10例,純結核性膿胸渗出液27例計45例であり,炎性と非炎性の鑑別は臨床診断によつた。また他菌の混合感染を併発した結核性膿胸例は除外した。なお同時に採血できた31例では血清銅も併せ測定した。
- 2) 検査方法: 各穿刺液はすべて採取後速やかに4000 廻転15分間遠心し繊維素,細胞等を除去し全く有形成分のない上清を測定に供した。測定方法は第1報の Robinson 法であり,イソアミルアルコール使用量は4mlである。結核菌培養は3%小川培地各2本に沈渣を0.5mlずつ2本宛2ヵ月以上培養し判定した。
  - 3) 非炎症性漏出液の場合(表1)

表 1 非炎症性漏出液の場合

症	例	臨床診断	液内濃度	血清銅	結核菌 培 養
1.		気胸後潴溜液	45y/d1	116y/ <i>dl</i>	(-)
2.		"	40	146	(-)
3.		"	31	116	(-)
4.		肋膜腔正常液	40		(-)
5.		気胸後 潴溜液	41	71	(-)
6.		腹水(ネフローゼ)	微量		(-)
7.		肋膜外気胸後潴溜液	30		(-)
8.		気胸後 潴溜液	28		(-)
			平均:32		

表の如くその濃度は最高48 $\gamma$ /dにすぎず、ネフローゼに合併せる腹水では全く検出できなかつた。また同一例の血清銅値に比し確かに低いということが特徴であり、4 例中 3 例までは液内濃度は血清内濃度の半量以下であった。

# 4) 炎症性漿液性滲出液の場合(表2)

表 2 炎症性漿液性滲出液の場合

症	例	臨	床	診	断	液内濃度	血清銅	結核菌 培 養
1.		コレ	ステリ	ン性肌	力膜炎	144y/ <i>dî</i>		+ 1*
2.		肋	H	萸	炎	170	γ/ <i>dl</i> 118	(-)
3.				,		162		(-)
4.				,		184		(-)
5.				,		133	152	
6.				,		60		
7.				,		36		
8.				,		51	138	(-)
9.				,		156		
10.				,				

\* コロニー数を示す

表の如く最低36y/dl より最高299y/dl におよび非炎症性漏出液の場合に比し明らかに高い。また第2例の滲出液内銅含量は血清中のそれを凌駕している。なお表中の肋膜炎はすべて漿液繊維素性肋膜炎にしていわゆる特発性ならびに随伴性肋膜炎の双方を含んでいる。

#### 5) 純結核性膿胸滲出液の場合(表3)

膿性滲出液の場合には液中の膿球を主体とした有形成 分の上清中銅濃度に及ぼす影響を少なくするために遠心 上清量約90%以上の稀薄な膿を対象とした。

表の如く遠心上清内濃度は66~385y/dl で炎症性漿液性の際とほぼ同様であるが非炎症性漏出液の場合より遥かに高濃度である。血清内濃度は66~176y/dl で,27例中9例では液内濃度は血清内濃度を凌駕し、特に第6例の液内濃度は血清内濃度の約3倍に達した。

同一例につき2回測定したのは症例19で、明らかな肺穿孔、発熱と共に肋膜炎を起したものであるが第1回排膿時すでに滲出液溷濁し膿胸というべき状態であつた。その際の滲出液上清よりは280y/dlに及ぶ高濃度の銅を

表 3 純結核性膿胸滲出液の場合

症	例	液内濃度	血清銅	結核菌培養				
1.		291γ/ <i>dl</i>	134y/dl	(-)				
2.		79	99	#				
3.		79	95	(-)				
4.		115	138	(-)				
5.		67	108	+ 1**				
6.		294	94	(-)				
7.		94	92	(-)				
8.		102	80	(-)				
9.		100	116	111				
10.		166	132	+ 4				
11.		91	133	(-)				
12.		89	144	111				
13.		72	89	#				
14.		152	150	(-)				
15.		89		(-)				
16.		88	66	(-)				
17.	•	102		##				
18.		100	124	+ 31				
19.		280		##				
_		104*	138	+30				
20.		81	111	(-)				
21.		70	88	(-)				
22.		110		+ 1				
23.		76	129	(-)				
24.		66	99	(-)				
25.		385	156	(-)				
26.		204	148					
27.		284 平约: 142	176 平均:118					

\* 約5ヵ月後の再測定値 \*\* コロニー数

証明した。その後 INAHとピラジナマイドの併用療法にて次第に軽快し,膿中結核菌も減少し5ヵ月後に再測定した際には  $104\gamma/dl$  に下降していた。なお本例を除いては膿胸に移行後いずれも2年以上経過した慢性例である。

液内濃度と結核菌培養の陽陰性との間の関連は前記第 19例の場合を除いては一般に密接でない。

### 第2節 切除肺病巣

- 1) 検査対象: 12例の切除肺より正常肺部分を避けて 摘出した各種の状態にある18箇の肺病巣ならびに切除肺 表面より切離した肺肋膜を含む7箇の正常肺部分であ る。
- 2) 検査方法: 切除した材料を再溜水にて清洗したシャーレ内にとり直ちに乾燥器内にて120°C 2 日以上に亘り充分に乾燥後正確に秤量しミクロキェルダール型コルベン内に移し, 硫酸1 ml, 硝酸3 ml, 過塩素酸3 ml (各試薬とも分析用純品を使用)を加え湿性灰化を行つた。分解は当初小さな熖で緩慢に行い, 分解の進行とと

もに圏を大きくし通常10数時間後には約1mlのほとんど 無色透明液を得た。ただし半ば石灰化したような陳旧病 巣では白色の結晶が析出する場合があつた。冷却後30% 過酸化水素水を簡下し変色しなければ分解完了とした。

以上によりえた灰化物を木村―村上法21)22)を応用し 分析した。以下著者が特に注意した点または変更した点 を述べると、(1) 試薬の精製、調製はほとんど原法通り に行つたが特に Dithizon溶液の調製に際してはDithizon を溶解せるアンモニア水に塩酸を加え Dithizon を再び 四塩化炭素内に移行せしめる際、充分に塩酸酸性とした ことで、さもないと Dithizon をアンモニア水中より完 全に分離できないこととなる。かくしてえた 0.1%溶液 は0.02%に四塩化炭素で稀め使用した。(2) 銅を結合し た Dithizon は磁製の皿に受け水浴上にて四塩化炭素を 蒸発せしめた後,小さな熖にて軽く熱しついで火力を強 め残渣の Dithizon が完全に分解してほとんど無色の灰 化物となるまで充分に灼熱した。(3) pH の調整はでき るだけ正確に行つた。(4) 銅—Carbamate錯塩を四塩化 炭素に移行せしめる際第1回は5ml,第2回は4mlにて 行い10ml のメスコルベンを使用し終末量は10ml とし, 440mμで光電光度計を使用し吸光度を計つた。

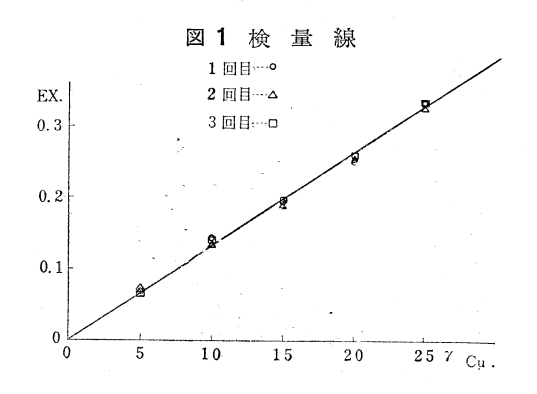
以上のような方法で当初は再蒸溜水の Blankのみで 6 検体あて 6回ほど反復施行し同時に行つた 6 検体の各吸 光度が一定してきたことを確認してから, すなわち技術 的に安定してから本実験に移つた。

表 4 標準銅量の Extinction (吸光度) と算出法

		第3回	平均	Cu/Ex.
0.067	0.071	0.067	0.068	73.6y
0. 143	0. 134	0.140	0. 139	72.0
0. 195	0. 191	0. 197	0. 194	77.3
0. 250	0. 256	0. 260	0. 255	78. 5
0. 335	0.328	0. 334	0.332	75.3
	0. 143 0. 195 0. 250	0.143 0.134 0.195 0.191 0.250 0.256	0. 143 0. 134 0. 140   0. 195 0. 191 0. 197   0. 250 0. 256 0. 260   0. 335 0. 328 0. 334	0.143 0.134 0.140 0.139   0.195 0.191 0.197 0.194   0.250 0.260 0.260 0.255

Calibration constant (γ, Cu/Extinction).....75.3

算出法:1. EC=試料の吸光度-Blankの吸光度 2. Ec× $75.3\gamma$ × $\frac{1,000(mg)}{$ 乾燥重量(mg)=乾燥重量 1gm当りの銅含量



銅量算出の基礎となつた各銅溶液の吸光度と乾燥重量 1gm 中の銅含有量の算出法および検量線は次の通りである。(表4,図1)

# 3) 検査成績

各症例毎に術前 X 線所見, 従来の化学療法(総量), 切除部位, 病巣の肉眼所見, 乾燥重量, 銅含有量を表 5 に示した。

また測定部位の種類を大きく、(1) 正常肺部、(2) 空 洞壁および内容、(3) 被包乾酪巣その他の3群に大別し それぞれの含有銅量を表6に示した。

表の如く正常肺部は乾燥重量にて $6.5\sim16.2\gamma/gm$  (平均12.1) であるに対し、病巣部は $7.7\sim81.1\gamma/gm$  (平均29.7) で一般に高い。しかし病巣中でも空洞壁、空洞内容等は症例 4, 6, 8, 9で示される如く一般に低く、硬

表 5 切除肺中の銅含有量

症 例	X 線 所 見	化 学 療 法	切除部位	肉眼所見	乾燥重量	銅含量
No. 1 40 才 昭27. 1 発見 30.12 手術		SM 100gm PAS 4,230 INAH 25	L-S <sup>1+2</sup>	小豆大弾力性硬度の被 包乾酪巣	115 mg	37.7y/gm
No. 2 24 才 昭28. 3 発見 30.12 手術		SM 80gm PAS 1,500 INAH 55	L-S <sup>3</sup> L-S <sup>1+2</sup>	中米粒大の軟かな被包 乾酪巣	32. 5	16.0
No. 3 24 才 昭28. 12 発見 30. 12 手術		SM 83gm PAS 4,750 INAH 12	L-S <sup>1+2</sup> L-S <sup>3</sup>	半米粒大の小撒布巣1 部肺組織も附着	51.5	10.1
No. 4 28 才 昭29.10 発見 31. 1 手術	<b></b>	SM 49gm PAS 2,040 INAH 5.6	右上葉全部	空洞内容	81.4	8. 4
No. 5		SM 66.gm	L-S1+2	正常肺部	116. 4	12.3
29 才		PAS 6,760 INAH 66	L-S <sup>6</sup>	半米粒大の硬い乾酪巣	23. 4	64.1
昭28. 1 発見 31. 1 手術				大豆大の硬い乾酪巣	25. 0	17.1
No. 6 45 才		SM 77gm PAS 2,330	右上葉全部	正常肺部	37.6	13.7
昭28. 4 発見 31. 2 手術		INAH 16		空 洞 内 容	52. 1	11.8
No. 7 26 才	A	SM 61 <i>gm</i> PAS 1,700	R-S <sup>1</sup> R-S <sup>2</sup>	正常部	37.6	15.7
昭30. 7 発見 31. 3 手術		INAH 0		軟い乾酪巣	91.5	41.8
No. 8		SM 93gm	左 肺	正常肺部	297.0	9.1
34 才		PAS 2,080 INAH 6	全 部	空 洞 壁	108.4	8.1
昭25. 1 発見 31. 3 手術				硬い乾酪巣	68.3	18.0

症 例	X 線 所 見	化 学	療法	切除部位	肉眼所見	乾燥重量	銅含量
No. 9		SM 50gm PAS 1,640 INAH 0	50gm 左上葉	正常肺部	94. 5	6.5	
34 才 昭30. 9 発見			,	全 部	被包乾酪巢	52.6	41. 4
31. 3 手術					空 洞 壁	74.7	7.7
No. 10 (年) 34 才		SM PAS	198,gm 7, 050	R-S¹a R-S²	正常肺部	69.8	11.3
昭28. 8 発見 30.12 手術	大気腹	INAH 0	0	-	空 洞 壁	18. 4	43.6
No. 11		SM	147gm	R-S <sup>1</sup>	R-S¹ 正 常 肺 部   R-S² 小指頭大乾酪巣   大豆大乾酪巣、石灰を含む)	141. 4	16. 2
34 才 (含) 昭21. 6 発見		PAS	5, 390	R-S <sup>2</sup>		182. 1	63.0
31. 9 手術 註:術前血清銅值		INAH	0			76.9	81.1
$108 \gamma/dl$					小豆大乾酪巣	59.1	13.7
No. 12 30 才		S M P A S	68 <i>gm</i> 2, 400	右下葉 金 部	空洞内容	121.5	41.6
昭29.10 発見 31.5 手術	気腹	INAH	2		空洞壁	96. 5	10.4

表 6 病巣別の含有銅量

種	類	例	数	銅含量の幅 γ/gm	平均值 γ/gm
正 常	部		7	6.5~16.2	12. 1
空洞壁兼	東内 容		7	7.7~43.6	18.8
被包乾酪第	きその他		11	10.1~81.1	36. <b>7</b>

化性の被包乾酪巣例えば症例 1, 5, 8, 9, 11等では高く,最高値を示したのは半ば石灰化した症例11の被包乾酪巣内においてであつた。このように病巣の性状に応じて各種の値を示した点が最も注目された。

#### 考 案

Menkin<sup>9)</sup> は結核病巣への鉄の集積を実験的に証明しているがその理由として各種の実験を基礎として炎症巣の毛細血管透過性の亢進を挙げている<sup>23)</sup> のは妥当だと思う。例えば胸腹水の場合,炎症性の穿刺液では毛細血管透過性の亢進により蛋白含量の多いことはすでに周知の事実でありしかも血清銅の大部分が Holmberg<sup>24)</sup>らの言うCaeruroplasmin として α2 グロブリン分割に結合しているとすれば炎性滲出液における銅含有量の増加は正に必然的結果と言わればならぬであろう。なおネフローゼの腹水では銅を検出できなかつたが Krebs<sup>1)</sup>によればネフローゼの血清銅は正常値の好と称せられているのでこのような血清銅値の低下が腹水内銅量に影響していると思われる。

しかしここで問題となるのは肺病巣の場合で、外界と

通常直接交通のない肋腹膜腔の際とは自ずと条件が異な つてくる。すなわち外界と交通があり未だ活動期にある 空洞壁、空洞内容等では低値を示すものが多く、被包さ れた治癒傾向の多い濃縮化病巣では一般に高 値を示す 等、病巣の病理解剖学的性格との関係が密接であり単な る Menkinの炎症説のみでは説明されえない。Schubert ら10 は放射性硫酸銅0.025mgを結核モルモットおよび健 康モルモットに1回だけ皮下注して結核肺には健康肺の 4~5倍の銅が集まることを証明しておりしたがつてヒ トの肺病巣でも一旦は血清内銅の病変部への集積が起り うると想像され、その後はそれぞれの病的機転すなわち 濃縮か崩壊かに応じてあるいはさらに高くあるいはさら に低くなるものと思われる。しかしいずれにせよ治癒病 巣に銅含量が大であつたことは病巣の安定性という面か ら見て、その存在意義は無視できない。ただし切除肺よ り分析試料である病巣部を摘出する際、小病巣では病巣 全体を分析に用いねばならぬ結果となり病理組織学的な 検索が困難となつたのは遺憾であつた。

肺病巣内の銅含有量測定に応用した木村一村上法は非常に堅実な方法だと考えられるが Dithizon 抽出を行うためかなり複雑であり、それだけに熟練が要求される。他方同じ湿性灰化を行う Braun-Scheffer法<sup>16)</sup>や Gublerら<sup>14</sup> の報告では Dithizon抽出を行っていないのに血清、全血では大差のない数値が出ているので木村一村上法もさらに多少の簡便化が望ましい。この点 Griffithら<sup>25</sup> の行つた Emission spectrograph 法は多数の試料を処理する目的から見れば利用価値が高い。彼らは同方法と化

学分析で剖検肺72例の銅含量を測定しており1才以上の標準平均値12.1 $\gamma$ /gm(乾燥重量)と称し著者の得たのと同様な数値を発表している。

#### 結 論

- 1) 各種の胸腹水計45例の遠心上清中の銅含量を Robinson法により測定した結果、非炎症性漏出液 8 例では  $0\sim48\gamma/dl$ (平均32)、炎症性漿液性滲出液10例では $36\sim299\gamma/dl$ (平均140)、炎症性膿性滲出液27例では $66\sim385\gamma/dl$ (平均142) で炎症性滲出液において非炎症性の場合に比し明らかに高濃度の銅を証明した。
- 2) 肺組織は木村一村上法にて測定し、12例の切除肺より切離した7箇の正常肺部分の含有量は乾燥重量にて $6.5\sim16.2\gamma/gm$  (平均12.1) であり、これに対し19箇の病巣部の含有量は $7.7\sim81.1\gamma/gm$  (平均29.7) で一般に高く、病巣中では被包濃縮化された治癒過程にある乾酪巣等では  $10.1\sim81.1\gamma/gm$  (平均36.7) にて含量多く、開放性の空洞壁および空洞内容は $7.7\sim43.6\gamma/gm$  (平均18.8) にて一般に低濃度であった。

稿を終るに臨み御指導,御校閲を賜つた東京医大篠井 金吾教授,春木秀次郎所長,馬場治賢部長ならびに生化 学上の御指導を賜つた東大栄養学教室米山良昌助教授に 心から感謝します。

なお本研究の一部は第31回結核病学会総会において発表した。

# 文 献

- 1) Krebs, H. A.: Klin. Wschr., 7:584~585, 1928.
- Heilmeyer, L., Keiderling, W., und Stüwe, G.: Kupfer und Eisen als körpereigene Wirkstoffe und ihre Bedeutung beim Krankheitsgeschehen, Jena, Gustav Fischer, 1941.
- 福島寛四・千田信行:血液学討議会報告,2:1 ~27,昭24.
- 4) 若田部武寿: 最新医学, 9:403~416, 昭29.
- Brenner, W.: Ergebnisse d. Inn. Med. u. Kind., 4 (Neue Folge), 806~974, 1953.
- 6) Polster, W.: 5) より引用.
- Sorkin, E., Roth, W., und Erlenmeyer, H.: Helv. Chim. Acta, 35: 1736~1741, 1952.

- 8) Roth, W., Zuber, F., Sorkin, E., und Erlenmeyer, H.: Helv. chim. Acta, 43: 430~433,
- Menkin, V., and Menkin, M. F., J. Exper. Med., 53: 919~927, 1931.
- 10) Schubert, G., Vogt, H., Maurer, W., und Riezler, F.N.: Klin. Wschr., 26: 493~494, 1948.
- 11) 河合 潔: 結核, 31(増刊号): 193~194, 昭31.
- 12) Kellin, D., and Mann, T.: Proc. Roy. Soc. London B, 125: 187~204, 1938.
- 13) Robinson, G.J. : J. Biol. Chem., 179 : 1103∼ 1109, 1949.
- Gubler, J.C., Lahey, M.E., Helen Ashenbrucker, Cartwright, C.E., and Wintrobe, M.M.:J. Biol. Chem., 196: 209~220, 1952.
- 15) Frank, C.C., Johnson, R.E., and Marek, E.: Metabolic Methods, St. Louis, Mosby, 1951.
- 16) Braun, L., und Scheffer, L.: Biochem. Z., 304: 397~403, 1940.
- 17) 三方一沢・長谷川彌人・伊藤宗元: 最新医学, 10:245~253, 昭30.
- 18) Cartwright, G. E.: Copper metabolism, 274 ~314, Baltimore, The Johns Hopkins Press, 1950.
- 19) Cartwright, E., Johns, J., and Wintrobe, M.:J. Biol. Chem., 160: 593~600, 1945.
- 20) Schaich, W., Stalder, L., und Keiderling, W.: Beitr. Klin. Tuber., 104: 465~514, 1951.
- 21) Kimura, K., and Murakami, Y.: Microchemie vereinigt mit Microchemica acta, 36~37: 958~966, 1950.
- 22) 茂在敏司·豊田正輝:日新医学,39:273~279, 昭27.
- 23) Menkin, V.: Newer concepts of inflammation, Illinois, Charles C Thomas, 1950. (日本版)
- 24) Holmberg, C.G., and Laurell, C.B.: Acta Chem. Scand., I:944~950, 1947.
- 25) Griffith, G.C., Butt, M.E., and Walker, J.: Ann. Intern Med., 41: 501~509, 1954.